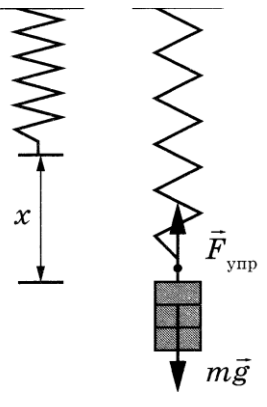
Используется комплект оборудования № 2.

Образец возможного выполнения

- 1. Схема экспериментальной установки (см. рисунок).
- 2. $F_{ynp} = mg = P$; $F_{ynp} = kx \Rightarrow k = \frac{P}{r}$.
- 3. $x = (60 \pm 2)$ MM = (0.060 ± 0.002) M; $P = (3.0 \pm 0.1)$ H.
- 4. k = 50 H/m.

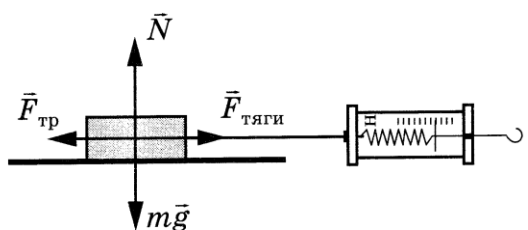


Используется комплект оборудования № 2. Образец возможного выполнения

- 1. Схема экспериментальной установки (см. рисунок):
- 2. $F_{_{\mathrm{TSITH}}} = F_{_{\mathrm{TD}}}$ (при равномерном движении модули сил равны).

Работа силы трения $A = -F_{\text{тр}} \cdot S$.

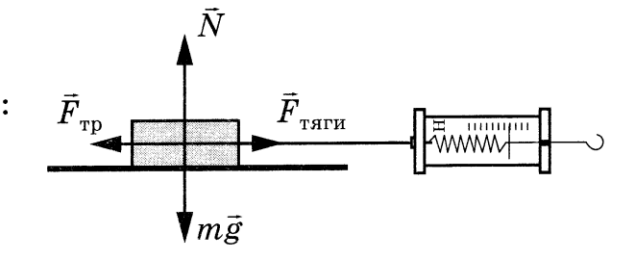
- 3. $F_{\text{тяги}} = (0.5 \pm 0.1) \text{ H; } S = 0.4 \text{ м.}$ 4. A = -0.20 Дж.



Используется комплект оборудования № 2. Образец возможного выполнения

- 1. Схема экспериментальной установки (см. рисунок):
- 2. $F_{\text{тяги}} = F_{\text{тр}}$ (при равномерном движении).

$$F_{_{
m TP}}=\mu N;\; N=P=mg,\; {
m c}$$
ледовательно, $F_{_{
m TP}}=\mu P,$ следовательно, $\mu=rac{F_{_{
m TR}\Gamma H}}{P}$.



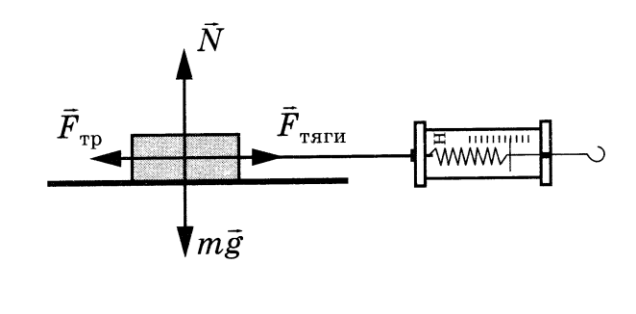
- 3. Для измерения веса бруска с грузом используем динамометр \mathbb{N}_2 2: $P = (1,5 \pm 0,1)$ H.
- 4. Для измерения силы тяги используем динамометр № 1: $F_{\text{тяги}} = (0.30 \pm 0.02) \text{ H}.$
- 5. $\mu \approx 0.2$.

№ 2 (исследования)

Используется комплект оборудования N_2 2. Образец возможного выполнения

1. Схема экспериментальной установки (см. рисунок):

2.	№	$F_{\text{\tiny TSI'H}} = F_{\text{\tiny TP}}(H)$	P(H) = mg
	1	$0,\!30\pm0,\!02$	$1,5~\pm~0,1$
	2	$0,50~\pm~0,02$	$2,5~\pm~0,1$
	3	$0,70\pm0,02$	$3,5~\pm~0,1$



3. Вывод: при увеличении силы нормального давления сила трения скольжения, возникающая между бруском и поверхностью рейки, также увеличивается.

Используется комплект оборудования № 2. Образец возможного выполнения

1. Схема экспериментальной установки (см. рисунок):

2	№	$F_{\rm ynp} = mg$, H	х, мм
	1	$1,0~\pm~0,1$	20 ± 2
	2	$2,0~\pm~0,1$	40 ± 2
	3	$3,0\pm0,1$	60 ± 2

